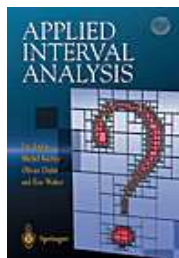


Méthodes ensemblistes pour la robotique



Luc Jaulin, ENSTA-Bretagne, IHSEV
Vendredi 7 janvier 2011,

1 Approche ensembliste

1.1 Calcul par intervalles

Si $\diamond \in \{+, -, ., /, \max, \min\}$

$$[x] \diamond [y] = [\{x \diamond y \mid x \in [x], y \in [y]\}].$$

Par exemple,

$$\begin{aligned} [-1, 3] + [2, 5] &= [1, 8], \\ [-1, 3].[2, 5] &= [-5, 15], \\ [-1, 3]/[2, 5] &= [-\frac{1}{2}, \frac{3}{2}], \end{aligned}$$

Si $f \in \{\cos, \sin, \text{sqr}, \sqrt{}, \log, \exp, \dots\}$

$$f([x]) = [\{f(x) \mid x \in [x]\}].$$

Par exemple,

$$\begin{aligned}\sin([0, \pi]) &= [0, 1], \\ \text{sqr}([-1, 3]) &= [-1, 3]^2 = [0, 9], \\ \sqrt{[-10, 4]} &= \sqrt{[-10, 4]} = [0, 2],\end{aligned}$$

1.2 Fonction d'inclusion

Exemple : Si f est donnée par

Algo $f(\text{in: } \mathbf{x} = (x_1, x_2, x_3), \text{ out: } \mathbf{y} = (y_1, y_2))$
--

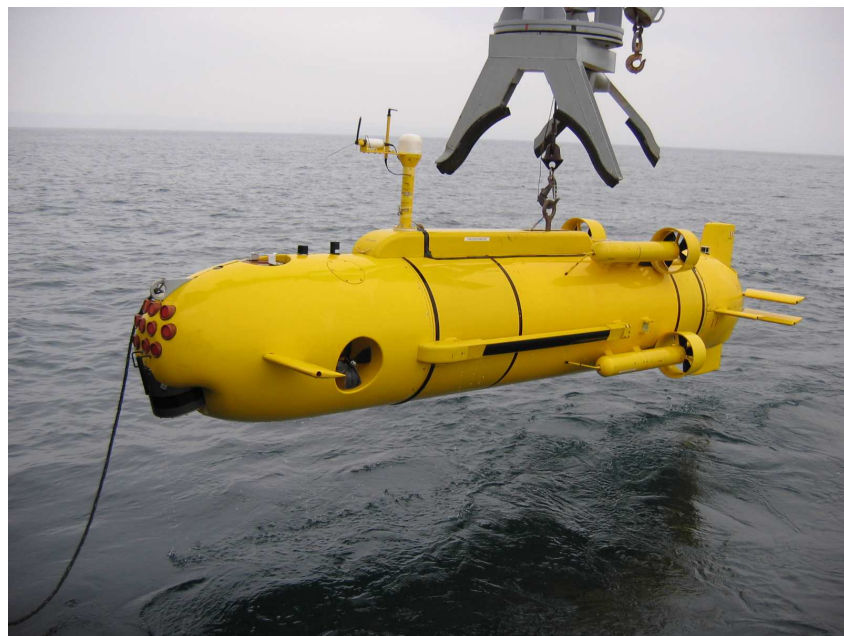
1 $z := x_1;$
2 for $k := 0$ to 100
3 $z := x_2(z + kx_3);$
4 next;
5 $y_1 := z;$
6 $y_2 := \sin(zx_1);$

Sa fonction d'inclusion naturelle est

Algo [f](in: [x] = ([x₁] , [x₂] , [x₃]), out: [y] = ([y₁] , [y₂]))

```
1  [z] := [x1];
2  for k := 0 to 100
3      [z] := [x2] * ([z] + k * [x3]);
4  next;
5  [y1] := [z];
6  [y2] := sin([z] * [x1]);
```

2 SLAM



Le *Redermor*, fabriqué par le GESMA
(Groupe d'Etude Sous-Marine de l'Atlantique)

Pourquoi une approche par intervalles ?

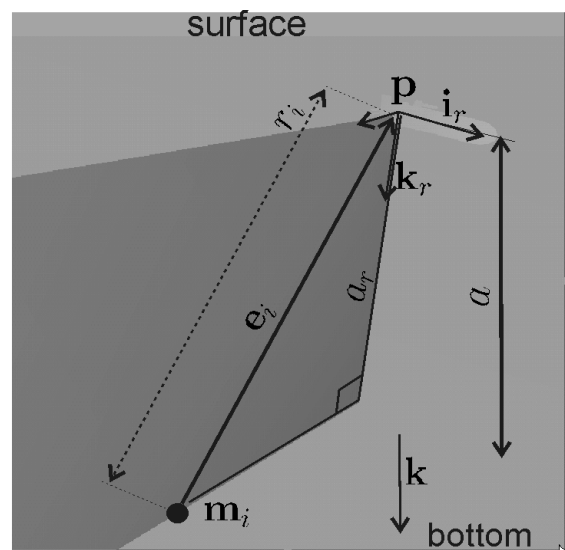
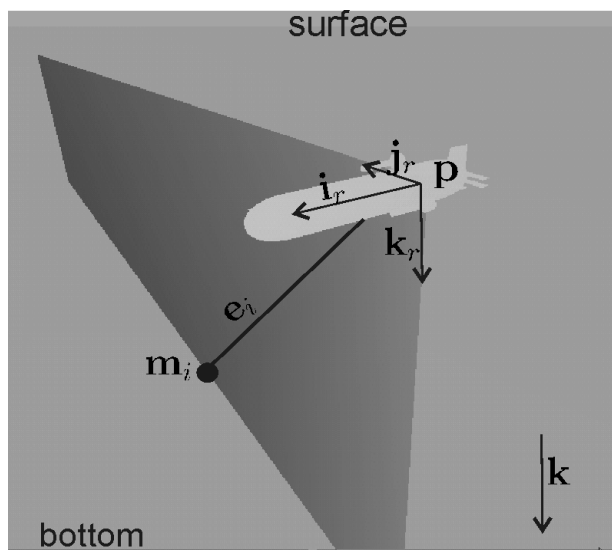
- 1) Besoin d'une approche fiable.
- 2) Les équations du robot sont non linéaires.
- 3) Les bruits de mesure sont non gaussiens.
- 4) Des bornes sur les erreurs sont fournies par les constructeurs des capteurs.
- 5) Beaucoup de mesures redondantes sont disponibles.

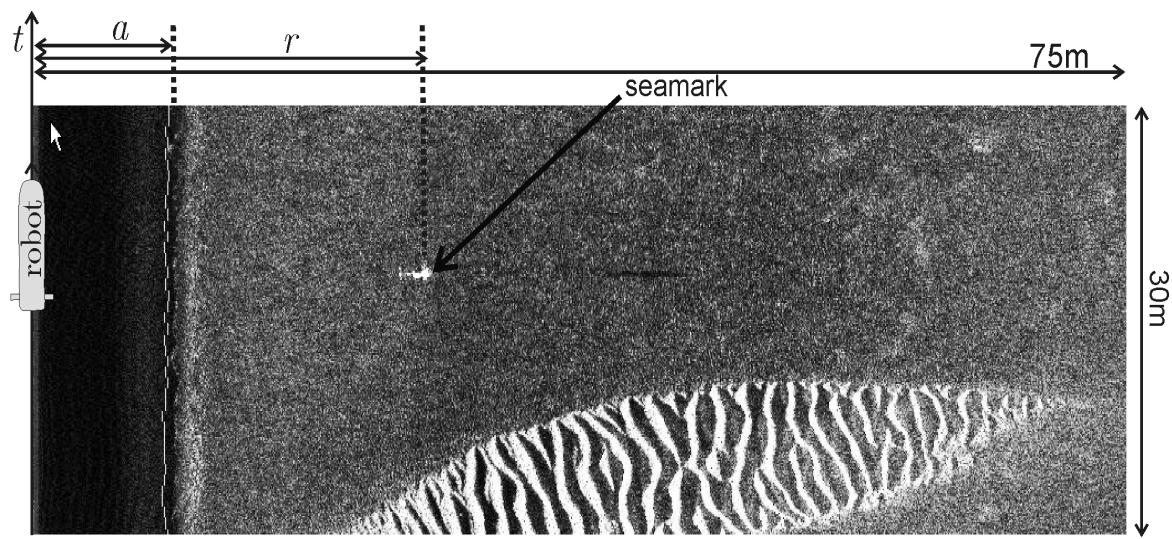
2.1 Capteurs

Un GPS (Global positioning system), disponible à la surface.

$$t_0 = 6000 \text{ s}, \quad \ell^0 = (-4.4582279^\circ, 48.2129206^\circ) \pm 2.5m$$
$$t_f = 12000 \text{ s}, \quad \ell^f = (-4.4546607^\circ, 48.2191297^\circ) \pm 2.5m$$

Un sonar (KLEIN 5400 side scan sonar). Donne la distance r entre le robot et la mine





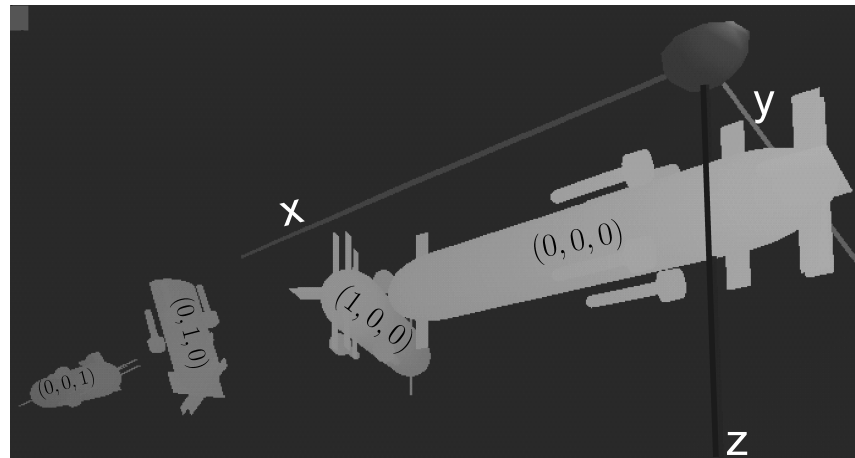
Détection d'une mine à l'aide de SonarPro

Le Loch-Doppler renvoie la vitesse du robot \mathbf{v}_r et son altitude a .

$$\mathbf{v}_r \in \tilde{\mathbf{v}}_r + 0.004 * [-1, 1] . \tilde{\mathbf{v}}_r + 0.004 * [-1, 1]$$

Une centrale inertielle (Octans III from IXSEA) renvoie le roulis ϕ , le tangage θ et le cap ψ du robot.

$$\begin{pmatrix} \phi \\ \theta \\ \psi \end{pmatrix} \in \begin{pmatrix} \tilde{\phi} \\ \tilde{\theta} \\ \tilde{\psi} \end{pmatrix} + \begin{pmatrix} 1.75 \times 10^{-4} \cdot [-1, 1] \\ 1.75 \times 10^{-4} \cdot [-1, 1] \\ 5.27 \times 10^{-3} \cdot [-1, 1] \end{pmatrix}.$$



2.2 Données

Pour chaque $t \in \{6000.0, 6000.1, 6000.2, \dots, 11999.4\}$, nous avons des intervalles pour

$$\phi(t), \theta(t), \psi(t), v_r^x(t), v_r^y(t), v_r^z(t), a(t).$$

Six mines ont été détectées par un opérateur humain,
à l'aide de SonarPro.

i	0	1	2	3	4	5
$\tau(i)$	7054	7092	7374	7748	9038	9688
$\sigma(i)$	1	2	1	0	1	5
$\tilde{r}(i)$	52.42	12.47	54.40	52.68	27.73	26.98

6	7	8	9	10	11
10024	10817	11172	11232	11279	11688
4	3	3	4	5	1
37.90	36.71	37.37	31.03	33.51	15.05

2.3 Contraintes

$$t \in \{6000.0, 6000.1, 6000.2, \dots, 11999.4\},$$

$$i \in \{0, 1, \dots, 11\},$$

$$\left(\begin{array}{c} p_x(t) \\ p_y(t) \end{array}\right) = 111120 \left(\begin{array}{cc} 0 & 1 \\ \cos\left(\ell_y(t) * \frac{\pi}{180}\right) & 0 \end{array}\right) \left(\begin{array}{c} \ell_x(t) - \ell_x^0 \\ \ell_y(t) - \ell_y^0 \end{array}\right)$$

$$\mathbf{p}(t)=(p_x(t),p_y(t),p_z(t)),$$

$$\mathbf{R}_\psi(t)=\left(\begin{array}{ccc} \cos\psi(t) & -\sin\psi(t) & 0 \\ \sin\psi(t) & \cos\psi(t) & 0 \\ 0 & 0 & 1 \end{array}\right),$$

$$\mathbf{R}_\theta(t)=\left(\begin{array}{ccc} \cos\theta(t) & 0 & \sin\theta(t) \\ 0 & 1 & 0 \\ -\sin\theta(t) & 0 & \cos\theta(t) \end{array}\right),$$

$$\mathbf{R}_\varphi(t)=\left(\begin{array}{ccc}1&0&0\\0&\cos\varphi(t)&-\sin\varphi(t)\\0&\sin\varphi(t)&\cos\varphi(t)\end{array}\right),$$

$$\mathbf{R}(t)=\mathbf{R}_{\psi}(t)\mathbf{R}_{\theta}(t)\mathbf{R}_{\varphi}(t),$$

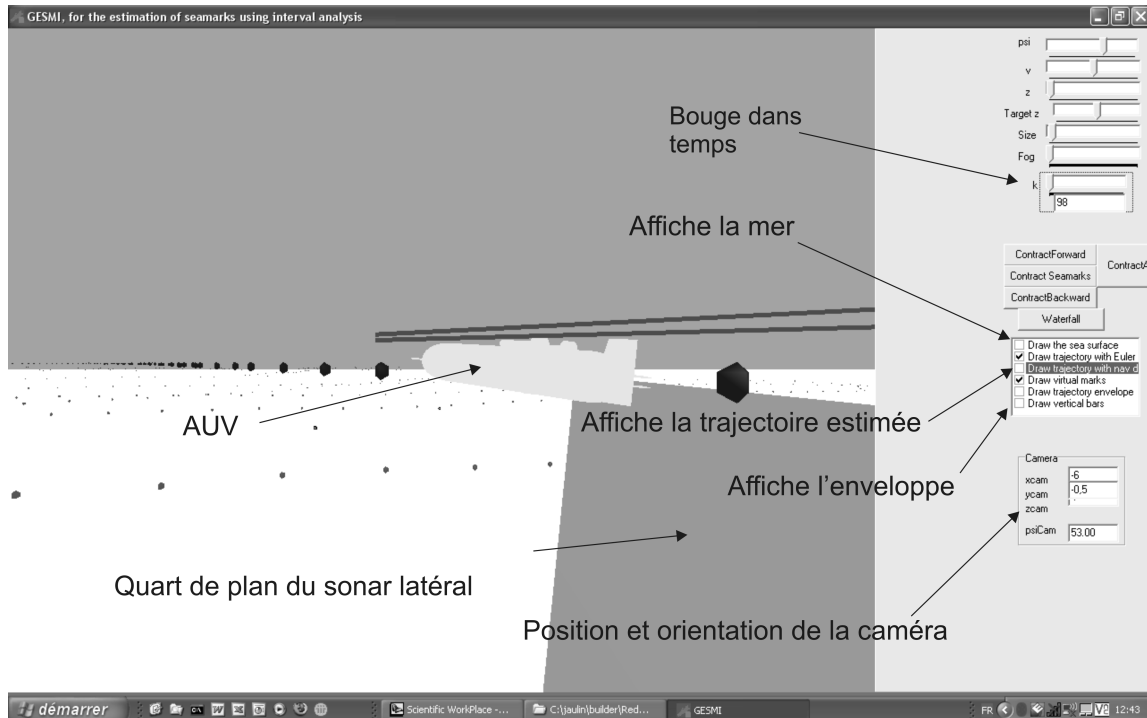
$$\dot{\mathbf{p}}(t)=\mathbf{R}(t).\mathbf{v}_r(t),$$

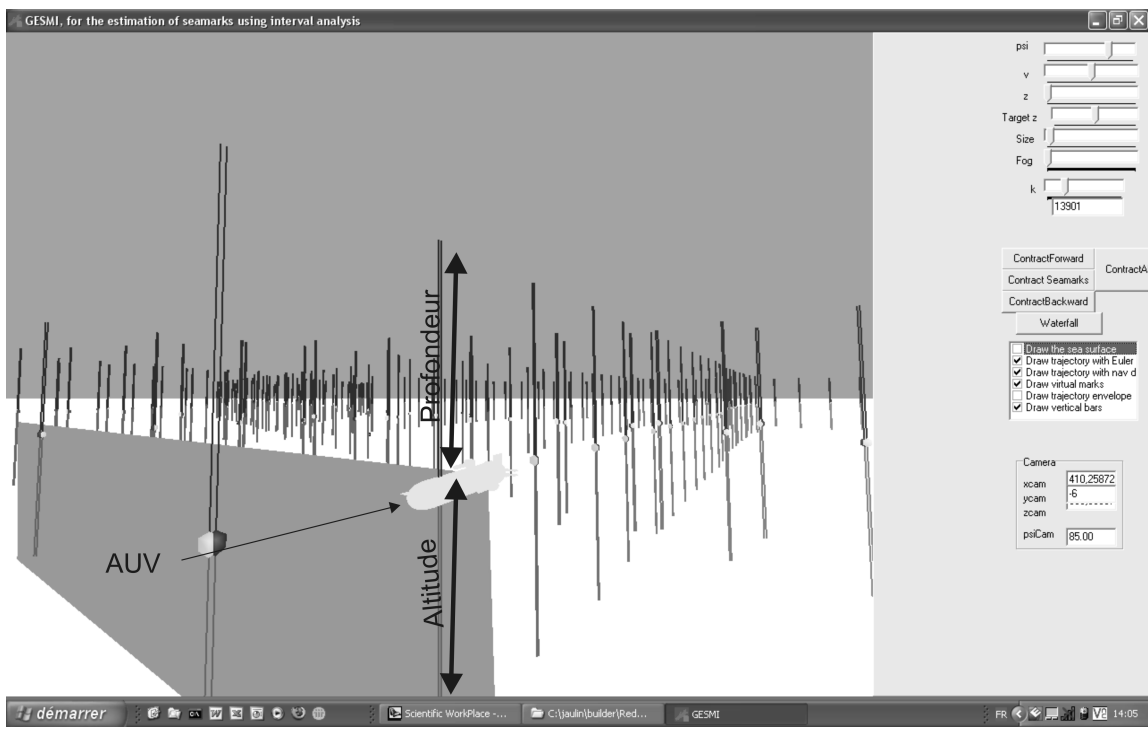
$$||\mathbf{m}(\sigma(i)) - \mathbf{p}(\tau(i))||~=r(i),$$

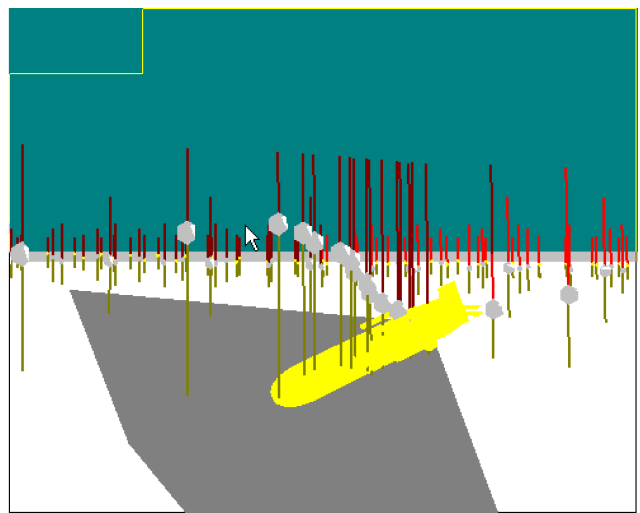
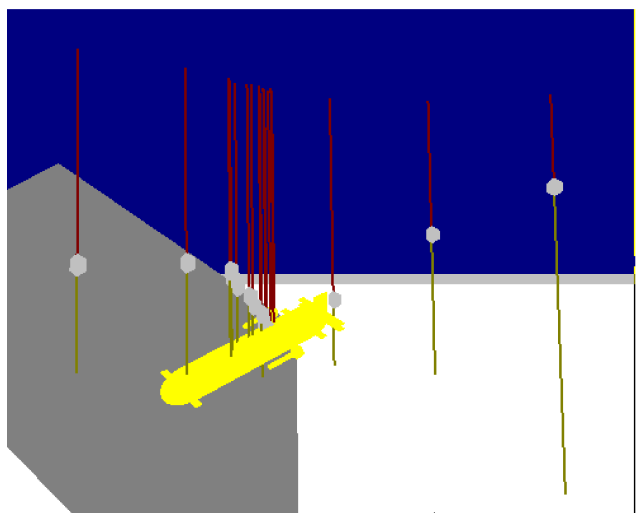
$$\mathbf{R}^\top(\tau(i))\left(\mathbf{m}(\sigma(i))-\mathbf{p}(\tau(i))\right)\in[0]\times[0,\infty]^{\times 2},$$

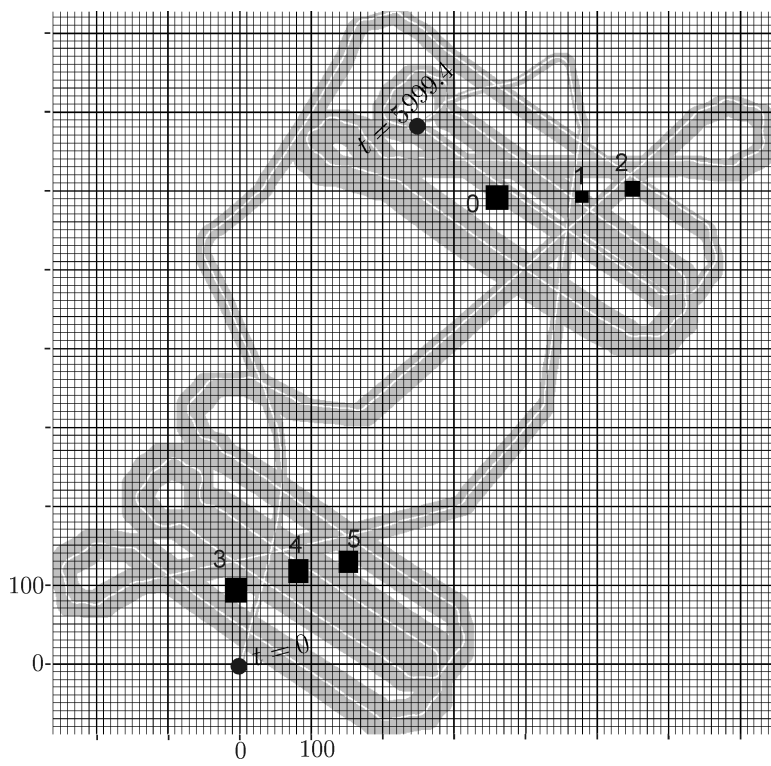
$$m_z(\sigma(i))-p_z(\tau(i))-a(\tau(i))\in[-0.5,0.5]$$

2.4 Logiciel GESMI







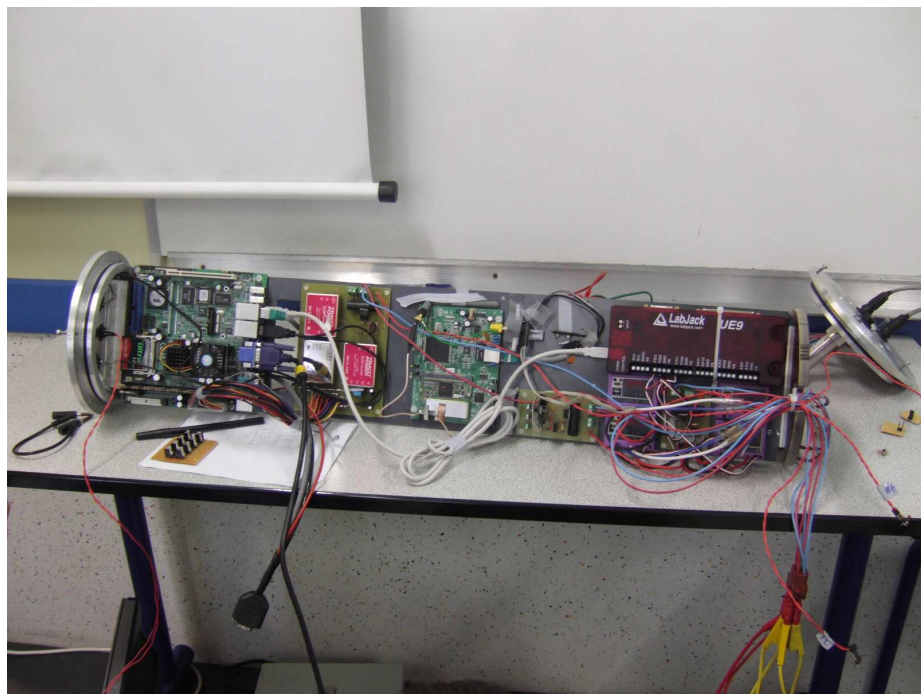


3 SAUCE



Portsmouth, July 12-15, 2007.

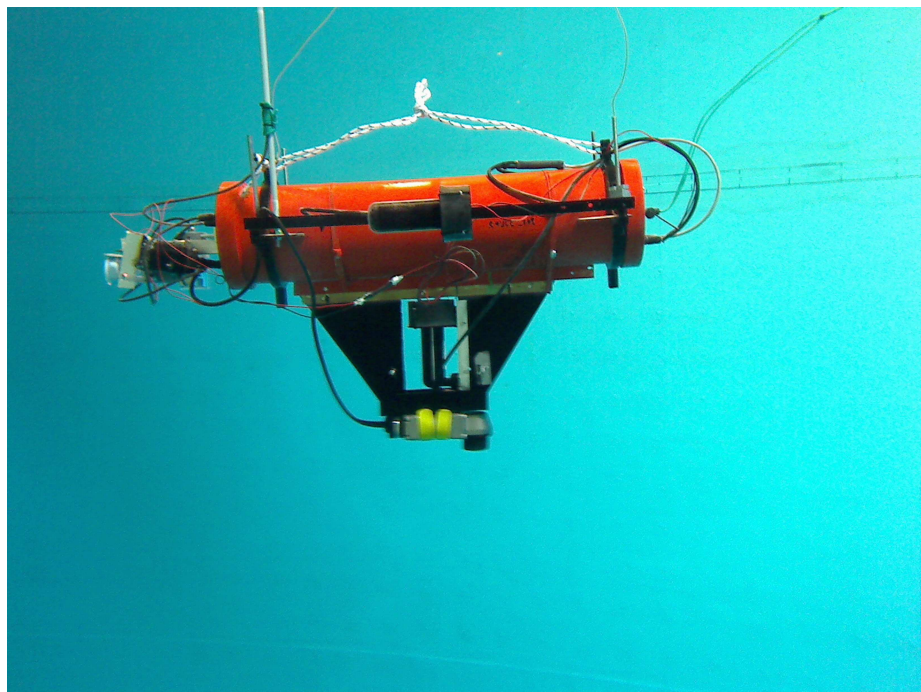




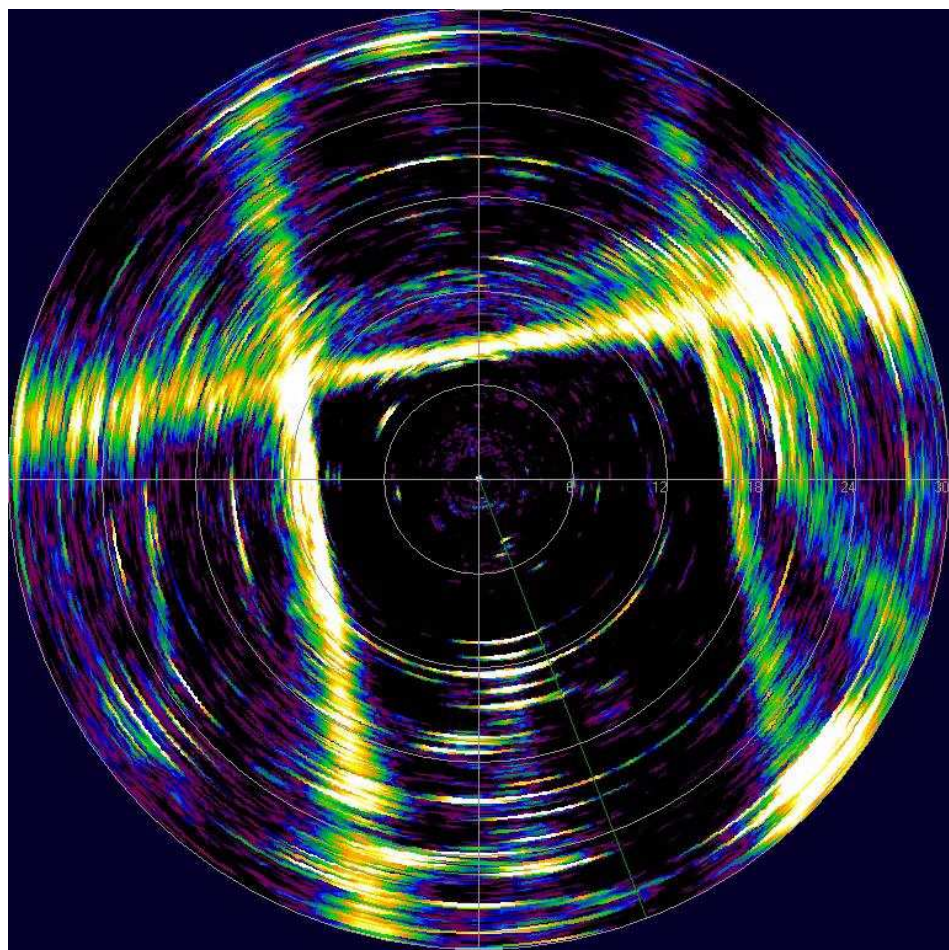


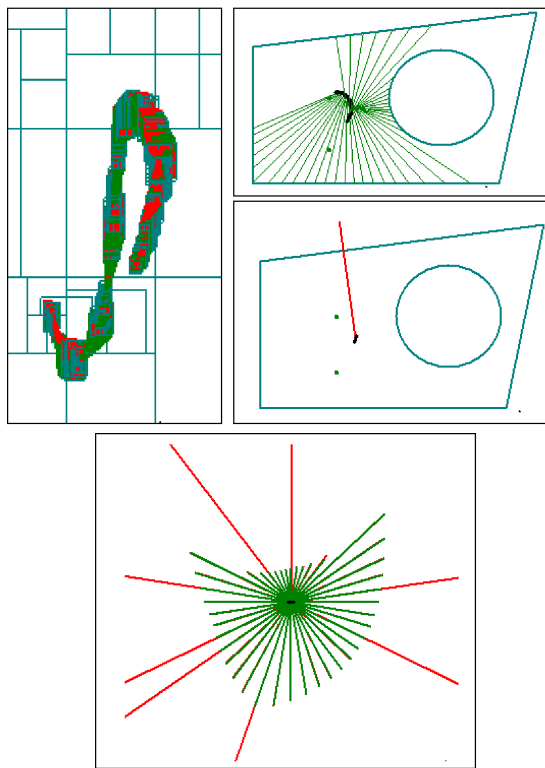






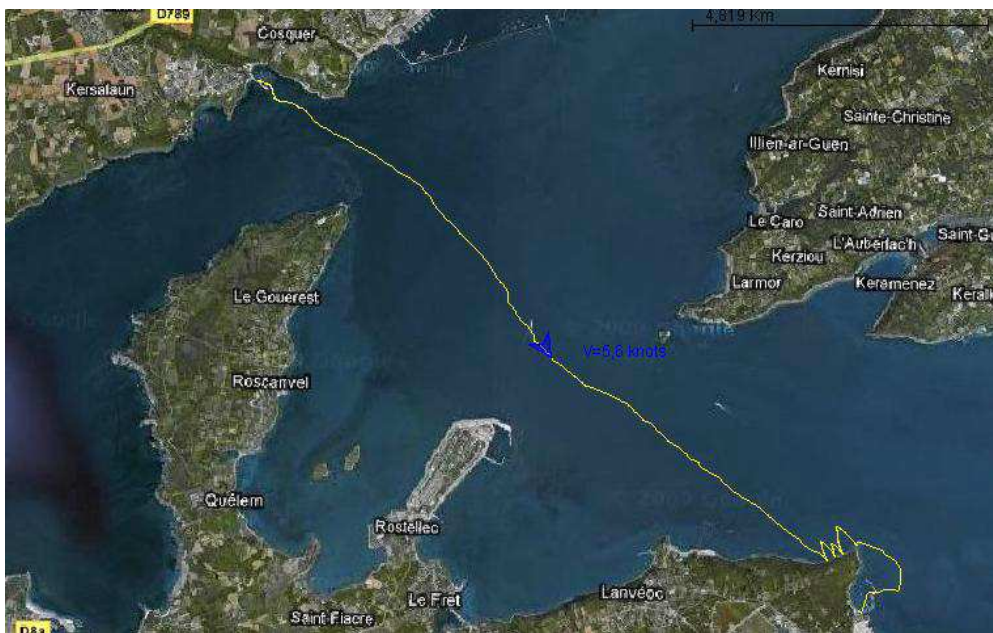
Robot Sauc'isse dans une piscine





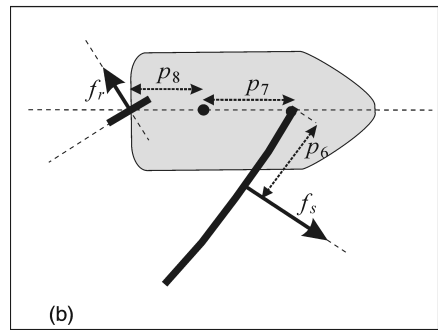
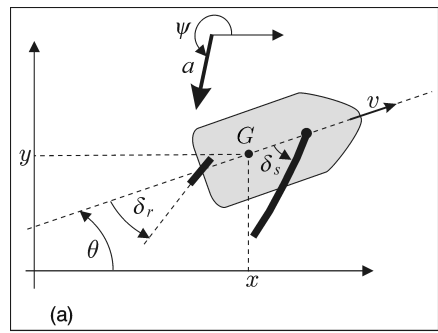
4 Voilier robot

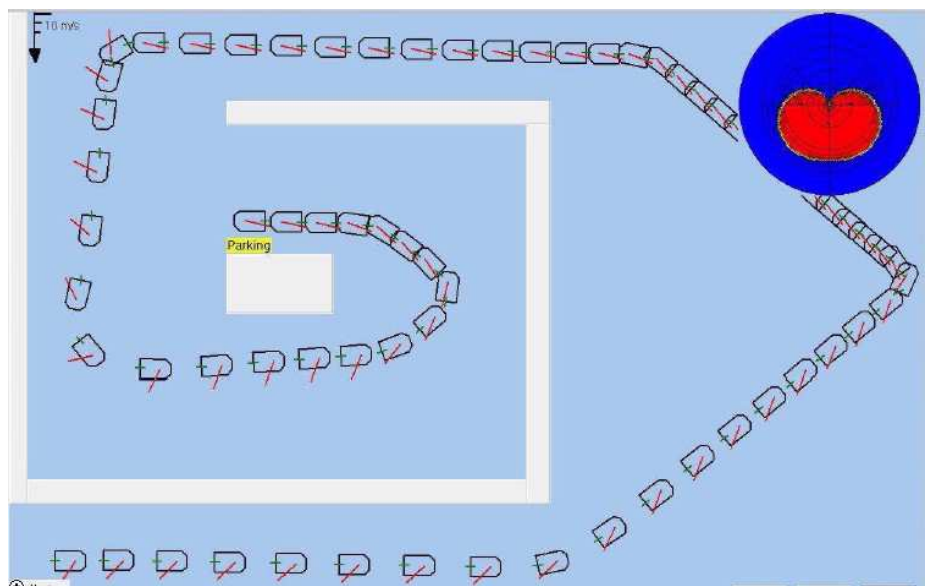




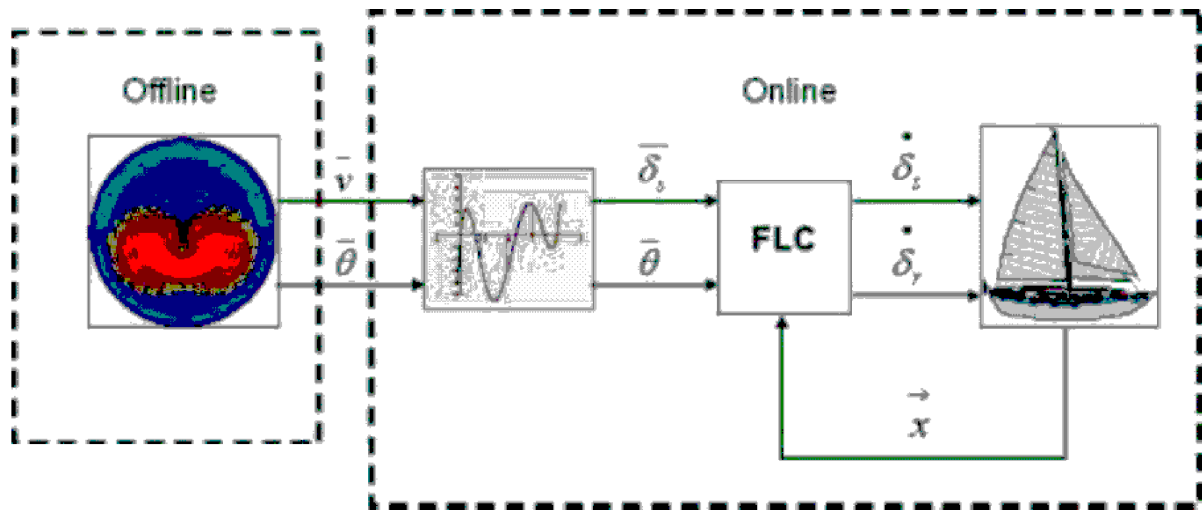
4.1 Equations

$$\left\{ \begin{array}{lcl} \dot{x} & = & v \cos \theta + a \cos \psi \\ \dot{y} & = & v \sin \theta + a \sin \psi \\ \dot{\theta} & = & \omega \\ \dot{v} & = & f_s \cdot \sin \delta_s - f_r \cdot \sin u_1 - v \\ \dot{\omega} & = & f_s \cdot (1 - \cos \delta_s) - f_r \cdot \cos u_1 - \omega \\ f_s & = & a \sin (\theta - \psi + \delta_s) \\ f_r & = & v \sin u_1 \\ \gamma & = & \cos(\theta - \psi) + \cos(u_2) \\ \delta_s & = & \begin{cases} \pi - \theta + \psi & \text{if } \gamma \leq 0 \\ sign(\sin(\theta - \psi)) \cdot u_2 & \text{otherwise.} \end{cases} \end{array} \right.$$





4.2 Control



5 CAROTTE



